

04;10
©1995

ОСОБЕННОСТИ ДИНАМИКИ ЭЛЕКТРОНОВ В АКСИАЛЬНО-НЕОДНОРОДНОМ ПРИАНОДНОМ ЕН СЛОЕ РАЗРЯДА НИЗКОГО ДАВЛЕНИЯ

С.В.Дудин, А.В.Зыков, А.В.Ушаков

Структура и динамика прианодного электронного слоя газового разряда в скрещенных электрическом E и магнитном H полях в вакуумном режиме ($n_e \gg n_i$, где n_e — плотность электронов, n_i — плотность ионов) подробно изучена в аксиально-симметричных системах с однородным магнитным полем типа ячейки Пенningа и ионного магнетрона (см. работы [1,2] и цитируемую там литературу), для которых теоретические модели EH слоя в рамках магнитной гидродинамики (МГД) в предположении бесконечной длины разрядной области вдоль H и стокновительной подвижности электронов дают хорошее согласие с экспериментом.

Для аксиально-неоднородных систем с радиальным магнитным и аксиальным электрическим полями типа ускорителей с азимутальным дрейфом электронов (УАД) детально изучен плазменный режим разряда ($n_e \approx n_i$) [1]. Как было установлено, в устройствах с диэлектрическим каналом важную роль для движения электронов и соответственно структуры EH слоя играют приповерхностные процессы (в частности, пристеночная проводимость), а МГД приближение некорректно.

В настоящей работе, в продолжение исследований [3], показано, что в вакуумном режиме прианодного EH слоя в аксиально-неоднородном разряде с холодными катодами также наблюдаются аномальные явления в динамике электронов, которые нельзя объяснить в рамках МГД.

Эксперименты проводились в устройстве, геометрия электродов которого (рис. 1, a) близка к конструкции разрядного промежутка серийного технологического источника ионов ИИ4-015 "Радикал" [4]. Устройство монтировалось на рабочей камере высоковакуумной системы с эффективной скоростью откачки 300 л/с. Напуск рабочего газа (аргон, воздух) осуществлялся в разрядный промежуток, при этом давление P , измерялось в рабочей камере. Раздельно измерялись ток электронов на анод I_a , токи на внешний I_{k1} и внутренний I_{k2} катоды, ток ионов на мишень I_m .

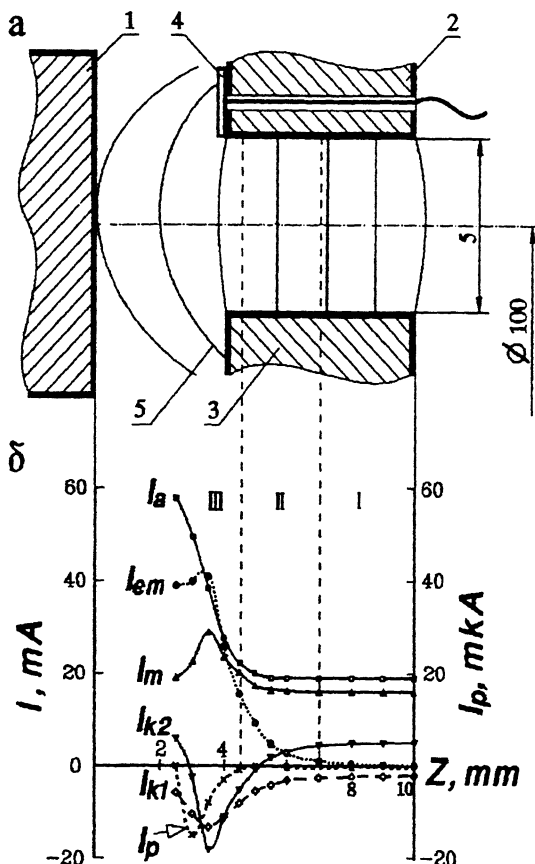


Рис. 1. а — схематическое изображение разрядного промежутка ионного источника: 1 — анод, 2 — внешний катод, 3 — внутренний катод, 4 — плоский зонд, 5 — силовая линия магнитного поля.

б — распределение токов на элементы системы в зависимости от расстояния до анода (Z) при внешней инжекции электронов ($V_a = 1.5$ кВ, $H = 1.7$ кЭ и $P = 4 \cdot 10^{-4}$ Тор): I_{em} — ток эмиссии, I_a — ток на анод, I_m — ток на мишень, I_{k1} — ток на внешний катод, I_{k2} — ток на внутренний катод, I_p — ток на плоский зонд.

На наш взгляд, принципиальными особенностями данного устройства по сравнению с ячейкой Пенninga и ионным магнетроном являются арочная конфигурация магнитных силовых линий 5 (рис. 1, а) в прианодной области и то, что размер разрядной области вдоль Н близок к расстоянию между анодом и катодами 2, 3. В условиях, когда до 90% ионов уходит на мишень, представляет интерес также вопрос об источнике и величине тока затравочных электро-

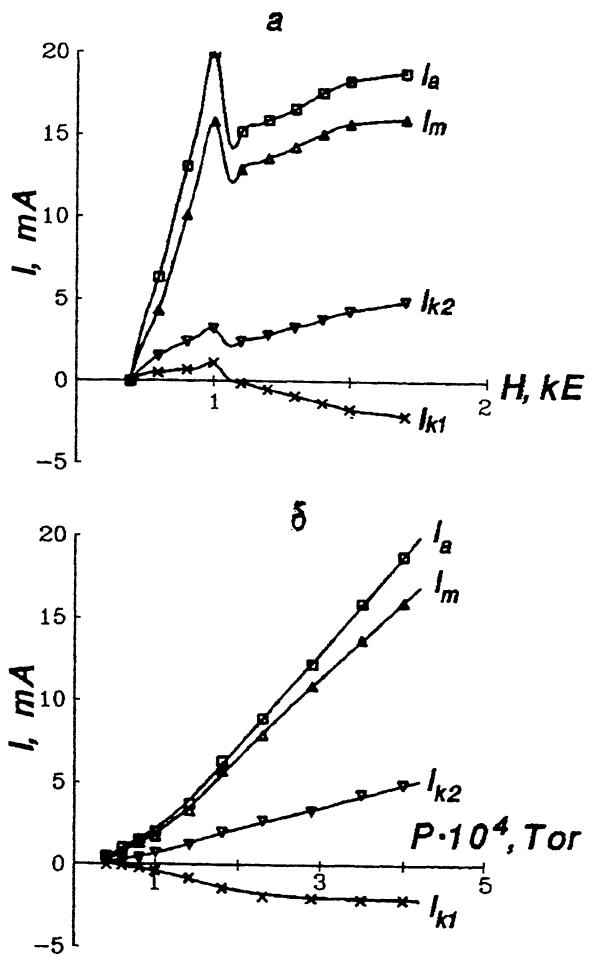


Рис. 2. Зависимости токов на электроды ионного источника от магнитного поля (а) при $p = 4 \cdot 10^{-4}$ Тор и от давления (б) при $H = 1.7$ кЭ (для обоих случаев $V_a = 1.5$ кВ): I_{em} — ток эмиссии, I_a — ток на анод, I_m — ток на мишень, I_{k1} — ток на внешний катод, I_{k2} — ток на внутренний катод, I_p — ток на плоский зонд.

нов, необходимых для развития электронных лавин в анодном слое, так как катодами разряда наряду с электродами 2, 3 являются мишень и стенки рабочей камеры [5].

Детальное изучение зависимостей токов на электроды разряда от анодного напряжения V_a , H , P позволило установить, что в данном устройстве при $H > 0.7$ кЭ, $V_a = 0.6 - 2$ кВ, $P = 10^{-5} - 10^{-3}$ Тор имеет место значительная асимметрия токов на электроды 2, 3. На внутреннюю

часть катода-магнитопровода 3 преобладает ионный ток $I_{k2} \approx (0.1 - 0.2)I_m$, на внешнюю — электронный (рис. 2, а, б).

Явление ухода электронов на катоды разряда в скрещенных ЕН полях известно. Однако согласно приведенным данным (см., например, [2]) сброс электронов на катоды носит периодический характер и определяется развитием неустойчивостей различных типов. В наших условиях, как показало осциллографирование токов на катоды, поток электронов имеет стационарный характер и, хотя в некоторых режимах наблюдаются ВЧ и НЧ колебания потенциала в слое, ни их амплитуда (~ 0.1 В), ни пороги возбуждения не коррелируют с величиной тока электронов.

Для исследования локальных характеристик ЕН слоя использовалась система электрических зондов: стационарный направленный зонд 4 (рис. 1, а), расположенный на поверхности внешнего катода, одиночный зонд под плавающим потенциалом для регистрации колебаний и возмущений потенциала слоя и миниатюрный термозонд (ТЗ) прямого накала, работающий в свободном режиме, который можно было перемещать по азимуту и вдоль оси. Измерения ТЗ проводились в двух точках его вольт-амперной характеристики: в режиме плавающего потенциала — для измерений распределения потенциала φ_{pl} в слое и в режиме изменения тока эмиссии I_{em} при потенциале зонда $\varphi_p = +5$ В относительно катодов (чтобы предотвратить непосредственный уход термоэлектронов на катоды).

Типичные результаты измерений распределения I_{em} на электроды разрядного устройства при различных расстояниях Z между ТЗ и поверхностью анода представлены на рис. 1, б. Анализируя полученные графики для различных V_a и H , можно выделить три характерные области в прианодном слое.

1) *Квазинейтральная область* — потенциал в середине катодной щели $\varphi_{pl} = 20 - 40$ В, электрическое поле $E_Z \leq 10$ В/см, $I_{em} < 0.1$ мА.

2) *Преодолей* — φ_{pl} возрастает до 200–400 В; $E_Z = 100 - 200$ В/см; $I_{em} = 10 - 30$ мА, но почти все термоэлектроны уходят на катоды 2, 3. При этом I_{em} растет с уменьшением P и суммарный электронный ток на катоды может превышать I_a .

3) *Соответственно прианодный слой*. В этой области сосредоточено основное падение потенциала, электрическое поле сильно неоднородно и, по оценкам, достигает 3 кВ/см. I_{em} возрастает до предельной величины ≈ 100 мА и происходит перераспределение I_{em} в сторону преимущественного ухода термоэлектронов на анод. В этой области дополнительная инжекция электронов с ТЗ приводит к усилению

ионизации рабочего газа, о чем свидетельствует почти двухкратный рост тока ионов на мишень I_m (рис. 1, б). Отметим, что при уменьшении $Z < 2.5$ мм (для $V_a = 1.5$ кВ, $H = 1.5$ кЭ) ТЗ сильно возмущает разряд и измерения становятся некорректными.

Для выяснения причины возникновения значительных электронных токов на катод (несмотря на потенциальный барьер для термоэлектронов) были проведены локальные измерения плоским зондом 4. Как следует из рис. 1, б, термоэлектроны достигают зонда только когда ТЗ расположен на той же магнитной поверхности, т. е. термоэлектроны уходят на катод прежде, чем успевают сместиться к аноду. Энергоанализ методом задерживающего потенциала попадающих на зонд электронов в различных режимах разряда показал, что их энергетический спектр близок к максвелловскому с температурой $T_e = 30-40$ эВ, а напряжение запирания электронного тока на зонд составляет — (30–100) В.

Основываясь на приведенных экспериментальных результатах, можно выделить следующие особенности динамики электронов в данном разряде.

Основную роль в поддержании разряда и развитии электронных лавин играют электроны, инжектируемые (вследствие ион-электронной либо термоэлектронной эмиссии) в область прианодного EH слоя с $E_Z > 200$ В/см. Косвенным свидетельством этого является также то, что при $Z > 4$ мм перекрытие азимутального дрейфа электронов держателем ТЗ существенно не возмущает разряд.

В области предсоля наблюдается интенсивный уход электронов на катод устройства в результате формирования высокоэнергетического "хвоста" функции распределения электронов по энергиям (ФРЭЭ). Полученные данные и проведенные оценки дают основание предположить, что причиной возникновения быстрых электронов являются электрон-электронные ($e-e$) столкновения. В пользу предположения об определяющей роли $e-e$ столкновений свидетельствует также увеличение электронного тока на катод с ростом H (n_e , как правило, увеличивается с ростом H [1]). На указанный эффект слабо влияют электрон-атомные соударения, так как изменение давления рабочего газа существенно не изменяет распределения тока эмиссии. Примечателен также факт, что электронный ток с ТЗ на катод не исчезает даже при потенциале ТЗ+(50–100) В. В рамках предложенной гипотезы вынос электронов с ТЗ на катод аналогичен описанному в [6] механизму ухода электронов из ионно-пучковой плазмы: термоэлектроны, поступая в слой, локально повышают n_e , а значит, и частоту $e-e$ столкновений. В результате этого увеличивается скорость ухода

электронов на катод через "хвост" ФРЭЭ до тех пор, пока не будет достигнуто равновесие между эмиссией электронов и их уходом.

Следует отметить, что в слое при $E_Z > 200$ В/см в отсутствие интенсивных колебаний наблюдается аномально большая подвижность инжектируемых термоэлектронов по перек магнитного поля. Возможно, в данном устройстве, как и в ускорительном канале, определяющую роль в токопереносе термоэлектронов на анод играют прикатодные процессы.

Для окончательных выводов о механизме обнаруженных особенностей динамики электронов необходимы дополнительные теоретические и экспериментальные исследования.

Список литературы

- [1] Ионые инжекторы и плазменные ускорители. Сб. научных статей / Под ред. А.И. Морозова, Н.Н. Семашко. М.: Энергоатомиздат, 1990.
- [2] Redhead P.A. // Vacuum. 1988. V. 38. N 8-10. P. 901-906.
- [3] Dudin S.V., Zykov A.V., Ushakov A.V. // IEEE International Conference on Plasma Science ICOPS'94. Conference Record. Abstracts. Santa Fe, USA. 6-8 June 1994. P. 175.
- [4] Маишев Ю.П. // Электронная промышленность. 1990. В. 5. С. 15-18.
- [5] Зыков А.В., Маишев Ю.П., Фареник В.И. // Тез. докл. III Всесоюз. конф. по физике газового разряда. 1986. Ч. II. С. 221-223.
- [6] Дудин С.В., Зыков А.В., Фареник В.И. // Письма в ЖТФ. 1991. Т. 17. В. 6. С. 22-26.

Харьковский государственный
университет;
Научный физико-технологический
центр Украины
Харьков

Поступило в Редакцию
23 августа 1994 г.